

This Page Is Inserted by IFW Operations
and is not a part of the Official Record

BEST AVAILABLE IMAGES

Defective images within this document are accurate representations of the original documents submitted by the applicant.

Defects in the images may include (but are not limited to):

- BLACK BORDERS
- TEXT CUT OFF AT TOP, BOTTOM OR SIDES
- FADED TEXT
- ILLEGIBLE TEXT
- SKEWED/SLANTED IMAGES
- COLORED PHOTOS
- BLACK OR VERY BLACK AND WHITE DARK PHOTOS
- GRAY SCALE DOCUMENTS

IMAGES ARE BEST AVAILABLE COPY.

**As rescanning documents *will not* correct images,
please do not report the images to the
Image Problem Mailbox.**

Corr. US 2003/0187298

12

(12) NACH DEM VERTRAG ÜBER DIE INTERNATIONALE ZUSAMMENARBEIT AUF DEM GEBIET DES PATENTWESENS (PCT) VERÖFFENTLICHTE INTERNATIONALE ANMELDUNG

(19) Weltorganisation für geistiges Eigentum
Internationales Büro



(43) Internationales Veröffentlichungsdatum
24. Januar 2002 (24.01.2002)

PCT

(10) Internationale Veröffentlichungsnummer
WO 02/06199 A2

(51) Internationale Patentklassifikation⁷: **C07C 51/00**

23, 68169 Mannheim (DE). COX, Gerhard [DE/DE];
Birkental 20, 67098 Bad Dürkheim (DE).

(21) Internationales Aktenzeichen: PCT/EP01/08178

(74) Gemeinsamer Vertreter: **BASF AKTIENGESELLSCHAFT**; 67056 Ludwigshafen (DE).

(22) Internationales Anmeldedatum:

16. Juli 2001 (16.07.2001)

(81) Bestimmungsstaaten (national): AE, AG, AL, AM, AT, AU, AZ, BA, BB, BG, BR, BY, BZ, CA, CH, CN, CO, CR, CU, CZ, DE, DK, DM, DZ, EC, EE, ES, FI, GB, GD, GE, GH, GM, HR, HU, ID, IL, IN, IS, JP, KE, KG, KP, KR, KZ, LC, LK, LR, LS, LT, LU, LV, MA, MD, MG, MK, MN, MW, MX, MZ, NO, NZ, PL, PT, RO, RU, SD, SE, SG, SI, SK, SL, TJ, TM, TR, TT, TZ, UA, UG, US, UZ, VN, YU, ZA, ZW.

(25) Einreichungssprache: Deutsch

(84) Bestimmungsstaaten (regional): ARIPO-Patent (GH, GM, KE, LS, MW, MZ, SD, SL, SZ, TZ, UG, ZW), eurasisches Patent (AM, AZ, BY, KG, KZ, MD, RU, TJ, TM), europäisches Patent (AT, BE, CH, CY, DE, DK, ES, FI, FR, GB, GR, IE, IT, LU, MC, NL, PT, SE, TR), OAPI-Patent (BF, BJ, CF, CG, CI, CM, GA, GN, GW, ML, MR, NE, SN, TD, TG).

(30) Angaben zur Priorität:
100 34 825.4 18. Juli 2000 (18.07.2000) DE
100 46 672.9 20. September 2000 (20.09.2000) DE
101 18 814.5 17. April 2001 (17.04.2001) DE
101 19 933.3 23. April 2001 (23.04.2001) DE

Veröffentlicht:
— ohne internationalen Recherchenbericht und erneut zu veröffentlichen nach Erhalt des Berichts

Zur Erklärung der Zweibuchstaben-Codes und der anderen Abkürzungen wird auf die Erklärungen ("Guidance Notes on Codes and Abbreviations") am Anfang jeder regulären Ausgabe der PCT-Gazette verwiesen.

(71) Anmelder (für alle Bestimmungsstaaten mit Ausnahme von US): **BASF AKTIENGESELLSCHAFT** [DE/DE]; 67056 Ludwigshafen (DE).

(72) Erfinder; und

(75) Erfinder/Anmelder (nur für US): **BORGMEIER, Frieder** [DE/DE]; Bellenstrasse 44, 68163 Mannheim (DE). **TENTEN, Andreas** [DE/DE]; Schillerstr. 4, 67487 Maikammer (DE). **HIBST, Hartmut** [DE/DE]; Branichstr. 23, 69198 Schriesheim (DE). **MÜLLER-ENGEL, Klaus, Joachim** [DE/DE]; Bahnhofstr. 82, 76297 Strutensee (DE). **UNVERRICHT, Signe** [DE/DE]; Gartenfeldstr.

WO 02/06199 A2
(54) Title: METHOD FOR PRODUCING ACRYLIC ACID BY THE HETEROGENEOUSLY CATALYSED GAS-PHASE OXIDATION OF PROPANE

(54) Bezeichnung: VERFAHREN ZUR HERSTELLUNG VON ACRYLSÄURE DURCH HETEROGEN KATALYSIERTE GAS-PHASENOXIDATION VON PROPAN

(57) Abstract: The invention relates to a method for producing acrylic acid by the heterogeneously catalysed gas-phase oxidation of propane on a multi-metal oxide mass, said mass containing the elements Mo, V, Te and/or Sb and having a specific X-ray diffractogram.

(57) Zusammenfassung: Ein Verfahren zur Herstellung von Acrylsäure durch heterogen katalysierte Gasphasenoxydation von Propan an einer Multimetallocidmasse, die die Elemente Mo, V und Te und/oder Sb enthält und ein spezifisches Röntgendiffraktogramm aufweist.

Verfahren zur Herstellung von Acrylsäure durch heterogen katalysierte Gasphasenoxidation von Propan

5 Beschreibung

Vorliegende Erfindung betrifft ein Verfahren zur Herstellung von Acrylsäure durch heterogen katalysierte Gasphasenoxidation von Propan mit molekularem Sauerstoff bei erhöhter Temperatur an wenigstens einer Multimetallocidmasse der allgemeinen Formel I,



mit

15

M^1 = Te und/oder Sb,

M^2 = wenigstens eines der Elemente aus der Gruppe umfassend Nb, Ta, W, Ti, Al, Zr, Cr, Mn, Ga, Fe, Ru, Co, Rh, Ni, Pd, Pt, La, Bi, B, Ce, Sn, Zn, Si und In,

20 b = 0,01 bis 1,

c = > 0 bis 1, vorzugsweise 0,01 bis 1,

d = > 0 bis 1, vorzugsweise 0,01 bis 1 und

n = eine Zahl, die durch die Wertigkeit und Häufigkeit der von Sauerstoff verschiedenen Elemente in (I) bestimmt wird,

25

deren Röntgendiffraktogramm Beugungsreflexe h, i und k aufweist, deren Scheitelpunkte bei den Beugungswinkeln (2Θ) $22,2 \pm 0,4^\circ$ (h), $27,3 \pm 0,4^\circ$ (i) und $28,2 \pm 0,4^\circ$ (k) liegen, wobei

30

- der Beugungsreflex h innerhalb des Röntgendiffraktogramms der intensitätsstärkste ist, sowie eine Halbwertsbreite von höchstens $0,5^\circ$ aufweist,

35

- die Intensität P_i des Beugungsreflexes i und die Intensität P_k des Beugungsreflexes k die Beziehung $0,65 \leq R \leq 0,85$ erfüllen, in der R das durch die Formel

$$R = P_i / (P_i + P_k)$$

40

definierte Intensitätsverhältnis ist, und

- die Halbwertsbreite des Beugungsreflexes i und des Beugungsreflexes k jeweils $\leq 1^\circ$ beträgt.

45

2

Multimetallocidmassen, die eine der allgemeinen Formel (I) entsprechende Stöchiometrie aufweisen, sind bekannt (vgl. z.B. EP-A 608838, EP-A 529853, JP-A 7-232071, JP-A 10-57813, JP-A 2000-37623, JP-A 10-36311, WO 00/29105, Proceedings ISO'99, 5 Rimini (Italy), Sept. 10-11, 1999, G. Centi und S. Perathoner Ed., SCI Pub. 1999, EP-A 767164, Catalysis Today 49 (1999), S. 141-153, EP-A 962253, Applied Catalysis A: General 194 bis 195 (2000), S. 479 bis 485, JP-A 11/169716, EP-A 895809, DE-A 19835247, DE-A 10029338, JP-A 8-57319, JP-A 10-28862, 10 JP-A 11-43314, JP-A 11-57479, WO 00/29106, JP-A 10-330343, JP-A 11-285637, JP-A 10-310539, JP-A 11-42434, JP-A 11-343261, JP-A 11-343262, WO 99/03825, JP-A 7-53448, JP-A 2000-51693, JP-A 11-263745 und die älteren Anmeldungen DE-A 10046672 und DE-A 10118814.

15

Im zitierten Stand der Technik werden Multimetallocidmassen die eine Stöchiometrie (I) aufweisen primär als Katalysatoren für die heterogen katalysierte Gasphasenoxidation und/oder Gasphasenammonoxidation von gesättigten Kohlenwasserstoffen zu α,β -ethylenisch 20 ungesättigten Carbonsäuren und/oder deren Nitrilen (z.B. Propan \rightarrow Acrylsäure) empfohlen.

Aus dem gewürdigten Stand der Technik ist gleichfalls bekannt, daß Multimetallocidmassen die eine Stöchiometrie (I) aufweisen in 25 Gestalt zweier voneinander verschiedener kristalliner Phasen vor- kommen, die häufig als i-Phase und als k-Phase bezeichnet werden (vgl. z.B. JP-A 11-43314, DE-A 10046672 und DE-A 10118814). Erst jüngste Untersuchungen führten zu der Erkenntnis, daß das Rönt- 30 gendiffraktogramm beider Phasen den intensitätsstärksten Be- ugungsreflex bei der Scheitelpunktlage $2\Theta = 22,2 \pm 0,4^\circ$ auf- weist. Darüber hinaus enthält das Röntgendiffraktogramm der i-Phase im Unterschied zur k-Phase einen Beugungsreflex mit der Scheitelpunktlage $2\Theta = 27,3 \pm 0,4^\circ$, wohingegen das Röntgendif- 35 fraktogramm der k-Phase im Unterschied zur i-Phase einen Be- ugungsreflex mit der Scheitelpunktlage $2\Theta = 50,0 \pm 0,3^\circ$ enthält. Beide Phasen weisen zusätzlich einen Beugungsreflex mit der Scheitelpunktlage $2\Theta = 28,2 \pm 0,4^\circ$ auf.

Gemäß der Lehre der WO 00/29106 und der WO 00/29105 eignen sich 40 Multimetallocidmassen der Stöchiometrie (I) dann als Katalysatoren für die heterogen katalysierte Gasphasenoxidation, wenn sie eine im wesentlichen amorphe Struktur aufweisen, die im Röntgendiffraktogramm in Form von sehr breiten Beugungsreflexen abgebildet wird.

Im Gegensatz dazu erachten es die EP-A 529853 und die EP-A 608838 sowohl für eine Verwendung als Katalysatoren für die heterogen katalysierte Gasphasenoxidation von Propan zu Acrylsäure als auch für eine Verwendung als Katalysatoren für die heterogen katalysierte Gasphasenoxidation von Propan zu Acrylnitril für erforderlich, daß Multimetallocidmassen der Stöchiometrie (I) eine spezifische kristalline Struktur aufweisen, die im Röntgendiffraktogramm in Form von sehr schmalen Beugungsreflexen abgebildet wird und unter denen der Beugungsreflex bei der 2Θ -Scheitelpunkt-Lage von $50,0 \pm 0,3^\circ$ ein strukturcharakteristischer „main diffraction peak“ ist. Weitere strukturcharakteristische „main diffraction peaks“ bilden gemäß der EP-A 529853 und der EP-A 608838 Beugungsreflexe bei den 2Θ -Scheitelpunkt-Lagen von $22,1 \pm 0,3^\circ$, $28,2 \pm 0,3^\circ$, $36,2 \pm 0,3^\circ$ und $45,2 \pm 0,3^\circ$.

Im Unterschied zur EP-A 529853 und zur EP-A 608838 fordert die JP-A 11-169716 für eine entsprechende Verwendbarkeit von Multimetallocidmassen der relevanten Zusammensetzung zwar ebenfalls eine spezifische kristalline Struktur derselben, die im Röntgendiffraktogramm gleichfalls in Form von sehr schmalen Beugungsreflexen abgebildet wird, zusätzlich zu den in der EP-A 529853 und in der EP-A 608838 geforderten Beugungsreflexen erachtet die JP-A 11-169716 jedoch noch die Anwesenheit von Beugungsreflexen mit 2Θ -Scheitelpunkt-Lagen bei $9,0 \pm 0,3^\circ$, $27,3 \pm 0,3^\circ$, $29,2 \pm 0,3^\circ$ und $35,4 \pm 0,3^\circ$ im Röntgendiffraktogramm als essentiell. Dabei betrachtet die JP-A 11-169716 vor allem eine gleichzeitige Anwesenheit der beiden Beugungsreflexe mit 2Θ -Scheitelpunkt-Lagen bei $28,2 \pm 0,3^\circ$ und $27,3 \pm 0,3^\circ$ mit ausgewogenen Reflexintensitäten als für eine befriedigende Ammonoxidations-Katalysatorperformance notwendig, wobei der Beugungsreflex mit einer 2Θ -Scheitelpunkt-Lage bei $27,3 \pm 0,3^\circ$ insbesondere für einen ausreichenden Propanumsatz und der Beugungsreflex mit einer 2Θ -Scheitelpunkt-Lage bei $28,2 \pm 0,3^\circ$ insbesondere für eine befriedigende Selektivität der Acrylnitrilbildung verantwortlich gemacht wird.

In „Ammoxidation of propane over Mo-V-Nb-Te mixed oxide catalysts“ aus „Spillover and Migration of Surface on Catalysts“ Ed. by Can Li und Quin Xin, Elsevier Science B.V. (1997), S. 47 ff erläutern dazu die Erfinder der JP-A 11-169716, daß ihrer spekulativen Meinung nach jeder der beiden vorgenannten Beugungsreflexe eine Kristallphase repräsentiert. Die als Katalysator ideale Multimetallocidmasse sei nun ein ausgewogenes inniges Gemisch beider Phasen, wobei der einen Phase ausschließlich die Aktivierung des Propans zukomme und die andere Phase für eine selektive

Wandlung des an der aktivierenden Phase aktivierten Propans zu Acrylnitril verantwortlich zeichne.

Die DE-A 19835247 stützt die vorgenannte Sichtweise indem sie 5 lehrt, daß sich die Intensitäten der Röntgenbeugungsreflexe mit den 2Θ -Scheitelpunkt-Lagen bei $27,3 \pm 0,3^\circ$ und $28,2 \pm 0,3^\circ$ für eine vernünftige Katalysatorperformance bei der Ammonoxidation von Propan zu Acrylnitril in einem bestimmten Verhältnisbereich bewegen müssen.

10

Die EP-A 895809, die ein Mitglied der Schutzrechtsfamilie der DE-A 19835247 ist, weist Multimetallocidmassen die eine der allgemeinen Formel (I) entsprechende Stöchiometrie aufweisen und die nach Verfahren erhältlich sind, wie sie auch die 15 DE-A 19835247 beschreibt, als auch für die heterogen katalysierte Gasphasenoxidation von Propan zu Acrylsäure geeignete Katalysatoren aus.

Aus der JP-A 7-232071 ist demgegenüber bekannt, daß im wesentlichen nur in der durch den Beugungsreflex mit der 2Θ -Scheitelpunkt-Lage bei $27,3 \pm 0,3^\circ$ repräsentierten Phase vorliegende Multimetallocidmassen der allgemeinen Stöchiometrie (I) auch als Katalysatoren für die heterogen katalysierte Ammonoxidation von Propan zu Acrylnitril geeignet sind.

25

Aus der JP-A 8-57319 ist bekannt, daß Mo und/oder V enthaltende Multimetallocidmassen durch Behandlung mit Säure aktiviert werden können.

30 Gemäß der Lehre der EP-A 1090684 weisen für die katalytische Gasphasenoxidation von Propan zu Acrylsäure geeignete Multimetallocidmassen I bei der Scheitelpunktlage $2\Theta = 50,0^\circ$ einen Beugungsreflex auf.

35 Die Aufgabe der vorliegenden Erfindung bestand angesichts des vorgenannten Standes der Technik darin, ein Verfahren zur Herstellung von Acrylsäure durch heterogen katalysierte Gasphasenoxidation von Propan mit molekularem Sauerstoff bei erhöhter Temperatur an einer wie eingangs definierten Multimetallocidmasse 40 der allgemeinen Formel (I) zur Verfügung zu stellen, das ausweist, daß diese Multimetallocidmassen weder amorph sein, noch Anteile einer zweiten Phase enthalten müssen, um als Katalysatoren für die heterogen katalysierte Gasphasenoxidation von Propan mit molekularem Sauerstoff bei erhöhter Temperatur/zu 45 Acrylsäure geeignet zu sein.

Demgemäß wurde ein Verfahren zur Herstellung von Acrylsäure durch heterogen katalysierte Gasphasenoxidation von Propan mit molekularem Sauerstoff bei erhöhter Temperatur an wenigstens einer Multimetallocidmasse der allgemeinen Formel I,

5



mit

10 $M^1 = \text{Te und/oder Sb}$,
 $M^2 = \text{wenigstens eines der Elemente aus der Gruppe umfassend Nb, Ta, W, Ti, Al, Zr, Cr, Mn, Ga, Fe, Ru, Co, Rh, Ni, Pd, Pt, La, Bi, B, Ce, Sn, Zn, Si und In}$,

b = 0,01 bis 1,

15 c = > 0 bis 1, vorzugsweise 0,01 bis 1,

d = > 0 bis 1, vorzugsweise 0,01 bis 1 und

n = eine Zahl, die durch die Wertigkeit und Häufigkeit der von Sauerstoff verschiedenen Elemente in (I) bestimmt wird,

20

deren Röntgendiffraktogramm Beugungsreflexe h, i und k aufweist, deren Scheitelpunkte bei den Beugungswinkeln (2Θ) $22,2 \pm 0,4^\circ$ (h), $27,3 \pm 0,4^\circ$ (i) und $28,2 \pm 0,4^\circ$ (k) liegen, wobei

25 - der Beugungsreflex h innerhalb des Röntgendiffraktogramms der intensitätsstärkste ist, sowie eine Halbwertsbreite von höchstens $0,5^\circ$ aufweist,

- die Intensität P_i des Beugungsreflexes i und die Intensität P_k des Beugungsreflexes k die Beziehung $0,65 \leq R \leq 0,85$ erfüllen, in der R das durch die Formel

$$R = P_i / (P_i + P_k)$$

35 definierte Intensitätsverhältnis ist, und

- die Halbwertsbreite des Beugungsreflexes i und des Beugungsreflexes k jeweils $\leq 1^\circ$ beträgt,

40 dadurch gekennzeichnet,

daß die wenigstens eine Multimetallocidmasse (I) eine solche ist, deren Röntgendiffraktogramm keinen Beugungsreflex mit der Scheitelpunktlage $2\Theta = 50,0 \pm 0,3^\circ$ aufweist, d.h., eine solche ist,

45 die keine k-Phase enthält.

6

Die Bedeutung des nicht Vorhandenseins des vorgenannten Beugungsreflexes als Ausweis für die Abwesenheit der k-Phase war in der älteren Anmeldung DE-A 10046672 noch nicht erkannt.

5 Vielmehr wurde der Betrag des Verhältnisses R als im wesentlichen alleiniger Indikator für die Phasenzusammensetzung betrachtet. Jüngste Untersuchungsergebnisse haben jedoch gezeigt, daß R auch bei Vorliegen von reiner i-Phase in einem gewissen Bereich variieren kann.

10

Erfindungsgemäß bevorzugt gilt $0,67 \leq R \leq 0,75$ und ganz besonders bevorzugt gilt $R = 0,70$ bis $0,75$ bzw. $R = 0,72$.

In überraschender Weise wurde gefunden, daß die erfundungsgemäß 15 zu verwendenden Multimetallocidmassen (I) für das erfundungsgemäßige Verfahren über eine erhöhte Aktivität verfügen und auch eine erhöhte Selektivität der Acrylsäurebildung bedingen.

Erfindungsgemäß bevorzugt ist die Verwendung von Multimetallocidmassen (I) mit $M^1 = Te$. Ferner sind für das erfundungsgemäßige Verfahren solche Multimetallocidmassen (I) günstig, bei denen $M^2 = Nb$, Ta, W und/oder Titan ist. Vorzugsweise ist $M^2 = Nb$. Der stöchiometrische Koeffizient b der erfundungsgemäß zu verwendenden Multimetallocidaktivmassen (I) beträgt mit Vorteil 0,1 bis 25 0,6. In entsprechender Weise beläuft sich der Vorzugsbereich für den stöchiometrischen Koeffizienten c auf 0,01 bis 1 bzw. auf 0,05 bis 0,4 und günstige Werte für d betragen 0,01 bis 1 bzw. 0,1 bis 0,6. Besonders günstige erfundungsgemäß zu verwendende Multimetallocidmassen (I) sind solche, bei denen die stöchiometrischen Koeffizienten b, c und d simultan in den vorgenannten Vorzugsbereichen liegen. Weitere erfundungsgemäß geeignete Stöchiometrien sind jene, die in den Schriften des eingangs zitierten Standes der Technik, insbesondere in der JP-A 7-53448, offenbart sind.

35

Ein gezieltes Verfahren zur Herstellung von erfundungsgemäß zu verwendenden Multimetallocidmassen (I) offenbaren z.B. die Schriften JP-A 11-43314 und die ältere Anmeldung DE-A 10118814, in welchen die relevanten Multimetallocidmassen (I) als 40 Katalysatoren für die heterogen katalysierte Oxidehydrierung von Ethan zu Ethylen sowie als Katalysatoren für die heterogen katalysierte Gasphasenoxidation von Propen zu Acrylsäure empfohlen werden.

45 Danach wird in an sich bekannter, in den meisten zitierten Schriften des Standes der Technik offenbarter, Weise (z.B. auch so wie in der älteren Anmeldung DE-A 10033121 beschrieben) zu-

nächst eine Multimetallocidmasse der Stöchiometrie (I) erzeugt, die ein Gemisch aus i-Phase und anderen Phasen (z.B. k-Phase) ist. In diesem Gemisch kann nun der Anteil an i-Phase z.B. dadurch erhöht werden, daß man die anderen Phasen, z.B. die k-
5 Phase, unter dem Mikroskop ausliest, oder die Multimetallocidmasse mit geeigneten Flüssigkeiten wäscht. Als solche Flüssigkeiten kommen z.B. wäßrige Lösungen organischer Säuren (z.B. Oxalsäure, Ameisensäure, Essigsäure, Zitronensäure und Weinsäure), anorganischer Säuren (z.B. Salpetersäure), Alkohole und
10 wäßrige Wasserstoffprooxidlösungen in Betracht. Des Weiteren offenbart auch die JP-A 7-232071 ein Verfahren zur Herstellung von erfindungsgemäß zu verwendenden Multimetallocidmassen (I).

In weniger systematischer Weise sind erfindungsgemäß zu verwenden
15 dende Multimetallocidmassen (I) durch die in der DE-A 19835247 publizierte Herstellweise zugänglich. Danach wird von geeigneten Quellen ihrer elementaren Konstituenten ein möglichst inniges, vorzugsweise feinteiliges, Trockengemisch erzeugt und dieses bei Temperaturen von 350 bis 700°C bzw. 400 bis 650°C oder 400 bis
20 600°C thermisch behandelt. Die thermische Behandlung kann prinzipiell sowohl unter oxidierender, reduzierender als auch unter inerter Atmosphäre erfolgen. Als oxidierende Atmosphäre kommt z.B. Luft, mit molekularem Sauerstoff angereicherte Luft oder an Sauerstoff entreicherte Luft in Betracht. Vorzugsweise wird die
25 thermische Behandlung unter inerter Atmosphäre, d.h., z.B. unter molekularem Stickstoff und/oder Edelgas, durchgeführt. Üblicherweise erfolgt die thermische Behandlung bei Normaldruck (1 atm). Selbstverständlich kann die thermische Behandlung auch unter Vakuum oder unter Überdruck erfolgen.

30 Erfolgt die thermische Behandlung unter gasförmiger Atmosphäre, kann diese sowohl stehen als auch fließen. Insgesamt kann die thermische Behandlung bis zu 24 h oder mehr in Anspruch nehmen.

35 Bevorzugt erfolgt die thermische Behandlung zunächst unter oxidierender (Sauerstoff enthaltender) Atmosphäre (z.B. unter Luft) bei einer Temperatur von 150 bis 400°C bzw. 250 bis 350°C. Im Anschluß daran wird die thermische Behandlung zweckmäßig unter Inertgas bei Temperaturen von 350 bis 700°C bzw. 400 bis 650°C
40 oder 400 bis 600°C fortgesetzt. Selbstredend kann die thermische Behandlung auch so erfolgen, daß die Katalysatorvorläufermasse vor ihrer thermischen Behandlung zunächst (gegebenenfalls nach Pulverisierung) tablettiert (gegebenenfalls unter Zusatz von 0,5 bis 2 Gew.-% an feinteiligem Graphit), dann thermisch behandelt
45 und nachfolgend wieder versplittet wird.

Das innige Vermischen der Ausgangsverbindungen im Rahmen der Herstellung von erfindungsgemäß zu verwendenden Multimetallocidmassen (I) kann in trockener oder in nasser Form erfolgen.

Erfolgt es in trockener Form, werden die Ausgangsverbindungen 5 zweckmäßigerweise als feinteilige Pulver eingesetzt und nach dem Mischen und gegebenenfalls Verdichten der Calcinierung (thermischen Behandlung) unterworfen.

Vorzugsweise erfolgt das innige Vermischen jedoch in nasser Form. 10 Üblicherweise werden die Ausgangsverbindungen dabei in Form einer wässrigen Lösung und/oder Suspension miteinander vermischt. Anschließend wird die wässrige Masse getrocknet und nach der Trocknung calciniert. Zweckmäßigerweise handelt es sich bei der wässrigen Masse um eine wässrige Lösung oder um eine wässrige 15 Suspension. Vorzugsweise erfolgt der Trocknungsprozeß unmittelbar im Anschluß an die Herstellung der wässrigen Mischung und durch Sprühtrocknung (die Austrittstemperaturen betragen in der Regel 100 bis 150°C; die Sprühtrocknung kann im Gleichstrom oder im Gegenstrom durchgeführt werden), die ein besonders inniges Trocken- 20 gemisch bedingt, vor allem dann, wenn es sich bei der sprühzutrocknenden wässrigen Masse um eine wässrige Lösung oder Suspension handelt.

Als Quellen für die elementaren Konstituenten kommen im Rahmen 25 der Durchführung der vorstehend beschriebenen Herstellweise der erfindungsgemäß zu verwendenden Multimetallocidmassen (I) alle diejenigen in Betracht, die beim Erhitzen (gegebenenfalls an Luft) Oxide und/oder Hydroxide zu bilden vermögen. Selbstredend können als solche Ausgangsverbindungen auch bereits Oxide und/ 30 oder Hydroxide der elementaren Konstituenten mitverwendet oder ausschließlich verwendet werden.

Erfindungsgemäß geeignete Quellen für das Element Mo sind z.B. Molybdänoxide wie Molybdäntrioxid, Molybdate wie Ammoniumhepta- 35 molybdattetrahydrat und Molybdänhalogenide wie Molybdänchlorid.

Geeignete, erfindungsgemäß mitzuverwendende Ausgangsverbindungen für das Element V sind z.B. Vanadylacetylacetonat, Vanadate wie Ammoniummetavanadat, Vanadinoxide wie Vanadinpentoxid (V_2O_5), Vanadinhalogenide wie Vanadintetrachlorid ($VC1_4$) und Vanadinoxyhalogenide wie $VOCl_3$. Dabei können als Vanadinausgangsverbindungen auch solche mitverwendet werden, die das Vanadin in der Oxidationsstufe +4 enthalten.

Als Quellen für das Element Tellur eignen sich erfindungsgemäß Telluroxide wie Tellurdioxid, metallisches Tellur, Tellurhalogenide wie TeCl_2 , aber auch Tellursäuren wie Orthothellursäure H_6TeO_6 .

5

Vorteilhafte Antimonausgangsverbindungen sind Antimonhalogenide wie SbCl_3 , Antimonoxide wie Antimontrioxid (Sb_2O_3), Antimonsäuren wie $\text{HSb}(\text{OH})_6$, aber auch Antimonoxid-Salze wie Antimonoxid-sulfat ($\text{SbO})_2\text{SO}_4$.

10

Erfindungsgemäß geeignete Niobquellen sind z. B. Nioboxide wie Niobpentoxid (Nb_2O_5), Nioboxidhalogenide wie NbOCl_3 , Niobhalogenide wie NbCl_5 , aber auch komplexe Verbindungen aus Niob und organischen Carbonsäuren und/oder Dicarbonsäuren wie z. B. Oxalate und Alkoholate. Selbstredend kommen als Niobquelle auch die in der EP-A 895 809 verwendeten Nb enthaltenden Lösungen in Betracht.

Bezüglich aller anderen möglichen Elemente M^2 kommen als erfundungsgemäß geeignete Ausgangsverbindungen vor allem deren Halogenide, Nitrate, Formiate, Oxalate, Acetate, Carbonate und/oder Hydroxide in Betracht. Geeignete Ausgangsverbindungen sind vielfach auch deren Oxoverbindungen wie z. B. Wolframate bzw. die von diesen abgeleiteten Säuren. Häufig werden als Ausgangsverbindungen auch Ammoniumsalze eingesetzt.

Ferner kommen als Ausgangsverbindungen für die Erstellung der erfundungsgemäßen Multimetallocidmassen (I) auch Polyanionen vom Anderson Typ in Betracht, wie sie z. B. in Polyhedron Vol. 6, No. 30 2, pp. 213-218, 1987 beschrieben sind. Eine weitere geeignete Literaturquelle für Polyanionen vom Anderson Typ bildet Kinetics and Catalysis, Vol. 40, No. 3, 1999, pp 401 bis 404.

Andere als Ausgangsverbindungen geeignete Polyanionen sind z. B. solche vom Dawson oder Keggin Typ. Vorzugsweise werden erfundungsgemäß solche Ausgangsverbindungen verwendet, die sich bei erhöhten Temperaturen entweder im Beisein oder bei Ausschluß von Sauerstoff, gegebenenfalls unter Freisetzung gasförmiger Verbindungen, in ihre Oxide umwandeln.

40

Die wie beschrieben erhältlichen erfundungsgemäß zu verwendenden Multimetallocidmassen (I) können als solche [z. B. als Pulver oder nach Tablettieren des Pulvers (häufig unter Zusatz von 0,5 bis 2 Gew.-% an feinteiligem Graphit) und nachfolgendem Versplitten zu Splitt zerkleinert] oder auch zu Formkörpern geformt für das erfundungsgemäße Verfahren eingesetzt werden. Dabei kann das

10

Katalysatorbett ein Festbett, ein Wanderbett oder ein Wirbelbett sein.

Die Formung zu Formkörpern kann z.B. durch Aufbringen auf einen 5 Trägerkörper erfolgen, wie es in der älteren Anmeldung DE-A 10051419 beschrieben wird.

Die für die erfindungsgemäß einzusetzenden Multimetallocidmassen 10 (I) zu verwendenden Trägerkörper sind vorzugsweise chemisch inert. D.h., sie greifen in den Ablauf der katalytischen Gasphasenoxidation des Propans zu Acrylsäure, die durch die erfindungsgemäß zu verwendenden Multimetallocidaktivmassen katalysiert wird, im wesentlichen nicht ein.

15 Als Material für die Trägerkörper kommen erfindungsgemäß insbesondere Aluminiumoxid, Siliciumdioxid, Silicate wie Ton, Kaozin, Steatit, Bims, Aluminiumsilicat und Magnesiumsilicat, Siliciumcarbid, Zirkondioxid und Thoriumdioxid in Betracht.

20 Die Oberfläche des Trägerkörpers kann sowohl glatt als auch rauh sein. Mit Vorteil ist die Oberfläche des Trägerkörpers rauh, da eine erhöhte Oberflächenrauhigkeit in der Regel eine erhöhte Haftfestigkeit der aufgebrachten Aktivmassenschale bedingt.

25 Häufig liegt die Oberflächenrauhigkeit R_z des Trägerkörpers im Bereich von 5 bis 200 μm , oft im Bereich von 20 bis 100 μm (bestimmt gemäß DIN 4768 Blatt 1 mit einem "Hommel Tester für DIN-ISO Oberflächenmeßgrößen" der Fa. Hommelwerke, DE).

30 Ferner kann das Trägermaterial porös oder unporös sein. Zweckmäßigerweise ist das Trägermaterial unporös (Gesamtvolumen der Poren auf das Volumen des Trägerkörpers bezogen $\leq 1 \text{ Vol. -\%}$).

Die Dicke der auf den erfindungsgemäßen Schalenkatalysatoren befindlichen aktiven Oxidmassenschale liegt üblicherweise bei 10 35 bis 1000 μm . Sie kann aber auch 50 bis 700 μm , 100 bis 600 μm oder 150 bis 400 μm betragen. Mögliche Schalendicken sind auch 10 bis 500 μm , 100 bis 500 μm oder 150 bis 300 μm .

40 Prinzipiell kommen für das erfindungsgemäße Verfahren beliebige Geometrien der Trägerkörper in Betracht. Ihre Längstausdehnung beträgt in der Regel 1 bis 10 mm. Vorzugsweise werden jedoch Kugeln oder Zylinder, insbesondere Hohlzylinder, als Trägerkörper angewendet. Günstige Durchmesser für Trägerkugeln betragen 1,5 45 bis 4 mm. Werden Zylinder als Trägerkörper verwendet, so beträgt deren Länge vorzugsweise 2 bis 10 mm und ihr Außendurchmesser bevorzugt 4 bis 10 mm. Im Fall von Ringen liegt die Wanddicke

11

darüber hinaus üblicherweise bei 1 bis 4 mm. Erfindungsgemäß geeignete ringförmige Trägerkörper können auch eine Länge von 3 bis 6 mm, einen Außendurchmesser von 4 bis 8 mm und eine Wanddicke von 1 bis 2 mm aufweisen. Möglich ist aber auch eine Trägerring-
 5 geometrie von 7 mm x 3 mm x 4 mm oder von 5 mm x 3 mm x 2 mm (Außendurchmesser x Länge x Innendurchmesser).

Die Herstellung erfindungsgemäß zu verwendender Schalenkatalysatoren kann in einfacherster Weise so erfolgen, dass man erfindungsgemäß zu verwendende Oxidmassen der allgemeinen Formel (I) vorbildet, sie in eine feinteilige Form überführt und abschließend mit Hilfe eines flüssigen Bindemittels auf die Oberfläche des Trägerkörpers aufbringt. Dazu wird die Oberfläche des Trägerkörpers in einfacherster Weise mit dem flüssigen Bindemittel
 10 befeuchtet und durch Inkontaktbringen mit feinteiliger aktiver Oxidmasse der allgemeinen Formel (I) eine Schicht der Aktivmasse auf der befeuchteten Oberfläche angeheftet. Abschließend wird der beschichtete Trägerkörper getrocknet. Selbstredend kann man zur Erzielung einer erhöhten Schichtdicke den Vorgang periodisch wiederholen. In diesem Fall wird der beschichtete Grundkörper zum
 15 neuen "Trägerkörper" etc..

Die Feinheit der auf die Oberfläche des Trägerkörpers aufzubringenden katalytisch aktiven Oxidmasse der allgemeinen Formel (I) wird selbstredend an die gewünschte Schalendicke angepaßt. Für den Schalendickenbereich von 100 bis 500 µm eignen sich z. B. solche Aktivmassenpulver, von denen wenigstens 50 % der Gesamtzahl der Pulverpartikel ein Sieb der Maschenweite 1 bis 20 µm passieren und deren numerischer Anteil an Partikeln mit einer
 20 Längstausdehnung oberhalb von 50 µm weniger als 10 % beträgt. In der Regel entspricht die Verteilung der Längstausdehnungen der Pulverpartikel herstellungsbedingt einer Gaußverteilung. Häufig ist die Korngrößenverteilung wie folgt beschaffen:

35

D (µm)	1	1,5	2	3	4	6	8	12	16	24	32
x	80,5	76,3	67,1	53,4	41,6	31,7	23	13,1	10,8	7,7	4
y	19,5	23,7	32,9	46,6	58,4	68,3	77	86,9	89,2	92,3	96

40

D (µm)	48	64	96	128
x	2,1	2	0	0
y	97,9	98	100	100

45

Dabei sind:

D = Durchmesser des Korns,
x = der prozentuale Anteil der Körner, deren Durchmesser $\geq D$ ist;
5 und
y = der prozentuale Anteil der Körner, deren Durchmesser $< D$ ist.

Für eine Durchführung des beschriebenen Beschichtungsverfahrens im technischen Maßstab empfiehlt sich z. B. die Anwendung des in 10 der DE-A 2909671, sowie der in der DE-A 10051419 offenbarten Verfahrensprinzips. D.h., die zu beschichtenden Trägerkörper werden in einem vorzugsweise geneigten (der Neigungswinkel beträgt in der Regel $\geq 0^\circ$ und $\leq 90^\circ$, meist $\geq 30^\circ$ und $\leq 90^\circ$; der Neigungswinkel ist der Winkel der Drehbehältermittalachse gegen die Horizon- 15 tale) rotierenden Drehbehälter (z. B. Drehteller oder Dragiertrommel) vorgelegt. Der rotierende Drehbehälter führt die z. B. kugelförmigen oder zylindrischen Trägerkörper unter zwei in be- stimmtem Abstand aufeinanderfolgend angeordneten Dosievor- richtungen hindurch. Die erste der beiden Dosievorrichtungen 20 entspricht zweckmäßig einer Düse (z.B. eine mit Druckluft betrie- bene Zerstäuberdüse), durch die die im rotierenden Drehteller rollenden Trägerkörper mit dem flüssigen Bindemittel besprüht und kontrolliert befeuchtet werden. Die zweite Dosievorrichtung be- findet sich außerhalb des Zerstäubungskegels des eingesprühten 25 flüssigen Bindemittels und dient dazu, die feinteilige oxidische Aktivmasse zuzuführen (z.B. über eine Schüttelrinne oder eine Pulverschnecke). Die kontrolliert befeuchteten Trägerkugeln neh- men das zugeführte Aktivmassenpulver auf, das sich durch die rol- lende Bewegung auf der äußeren Oberfläche des z. B. zylinder- 30 oder kugelförmigen Trägerkörpers zu einer zusammenhängenden Schale verdichtet.

Bei Bedarf durchläuft der so grundbeschichtete Trägerkörper im Verlauf der darauffolgenden Umdrehung wiederum die Sprühdüsen, 35 wird dabei kontrolliert befeuchtet, um im Verlauf der Weiter- bewegung eine weitere Schicht feinteiliger oxidischer Aktivmasse aufnehmen zu können usw. (eine Zwischentrocknung ist in der Regel nicht erforderlich). Feinteilige oxidische Aktivmasse und flüssiges Bindemittel werden dabei in der Regel kontinuierlich und si- 40 multan zugeführt.

Die Entfernung des flüssigen Bindemittels kann nach beendeter Be- schichtung z. B. durch Einwirkung von heißen Gasen, wie N₂ oder Luft, erfolgen. Bemerkenswerterweise bewirkt das beschriebene/Be- 45 schichtungsverfahren sowohl eine voll befriedigende Haftung der

aufeinanderfolgenden Schichten aneinander, als auch der Grundschicht auf der Oberfläche des Trägerkörpers.

Wesentlich für die vorstehend beschriebene Beschichtungsweise
5 ist, dass die Befeuchtung der zu beschichtenden Oberfläche des
Trägerkörpers in kontrollierter Weise vorgenommen wird. Kurz aus-
gedrückt heißt dies, dass man die Trägeroberfläche zweckmäßig so
befeuhtet, dass diese zwar flüssiges Bindemittel adsorbiert auf-
weist, aber auf der Trägeroberfläche keine Flüssigphase als sol-
10 che visuell in Erscheinung tritt. Ist die Trägerkörperoberfläche
zu feucht, agglomeriert die feinteilige katalytisch aktive Oxid-
masse zu getrennten Agglomeraten, anstatt auf die Oberfläche auf-
zuziehen. Detaillierte Angaben hierzu finden sich in der
DE-A 2909671 und in der DE-A 10051419.

15

Die vorerwähnte abschließende Entfernung des verwendeten flüssigen Bindemittels kann in kontrollierter Weise z. B. durch Verdampfen und/oder Sublimieren vorgenommen werden. Im einfachsten Fall kann dies durch Einwirkung heißer Gase entsprechender
20 Temperatur (häufig 50 bis 300, häufig 150°C) erfolgen. Durch Einwirkung heißer Gase kann aber auch nur eine Vortrocknung bewirkt werden. Die Endtrocknung kann dann beispielsweise in einem Trockenofen beliebiger Art (z. B. Bandtrockner) oder im Reaktor erfolgen. Die einwirkende Temperatur sollte dabei nicht oberhalb
25 der zur Herstellung der oxidischen Aktivmasse angewendeten Calcinationstemperatur liegen. Selbstverständlich kann die Trocknung auch ausschließlich in einem Trockenofen durchgeführt werden.

Als Bindemittel für den Beschichtungsprozeß können unabhängig von
30 der Art und der Geometrie des Trägerkörpers verwendet werden:
Wasser, einwertige Alkohole wie Ethanol, Methanol, Propanol und Butanol, mehrwertige Alkohole wie Ethylenglykol, 1,4-Butandiol, 1,6-Hexandiol oder Glycerin, ein- oder mehrwertige organische Carbonsäuren wie Propionsäure, Oxalsäure, Malonsäure, Glutarsäure
35 oder Maleinsäure, Aminoalkohole wie Ethanolamin oder Diethanolamin sowie ein- oder mehrwertige organische Amide wie Formamid. Günstige Bindemittel sind auch Lösungen, bestehend aus 20 bis 90 Gew.-% Wasser und 10 bis 80 Gew.-% einer in Wasser gelösten organischen Verbindung, deren Siedepunkt oder Sublimationstemperatur
40 bei Normaldruck (1 atm) > 100°C, vorzugsweise > 150°C, beträgt. Mit Vorteil wird die organische Verbindung aus der vorstehenden Auflistung möglicher organischer Bindemittel ausgewählt. Vorzugsweise beträgt der organische Anteil an vorgenannten wäßrigen Bindemittellösungen 10 bis 50 und besonders bevorzugt 20 bis 30
45 Gew.-%. Als organische Komponenten kommen dabei auch Monosaccha-

ride und Oligosaccharide wie Glucose, Fructose, Saccharose oder Lactose sowie Polyethylenoxide und Polyacrylate in Betracht.

Von Bedeutung ist, dass die Herstellung erfindungsgemäß geeigneter Schalenkatalysatoren nicht nur durch Aufbringen der fertiggestellten, feingemahlenen aktiven Oxidmassen der allgemeinen Formel (I) auf die befeuchtete Trägerkörperoberfläche erfolgen kann.

Vielmehr kann anstelle der aktiven Oxidmasse auch eine feinteilige Vorläufermasse derselben auf die befeuchtete Trägeroberfläche (unter Anwendung der gleichen Beschichtungsverfahren und Bindemittel) aufgebracht und die Calcination nach Trocknung des beschichteten Trägerkörpers durchgeführt werden.

Als eine solche feinteilige Vorläufermasse kommt z. B. diejenige Masse in Betracht, die dadurch erhältlich ist, dass man aus den Quellen der elementaren Konstituenten der gewünschten aktiven Oxidmasse der allgemeinen Formel (I) zunächst ein möglichst inniges, vorzugsweise feinteiliges, Trockengemisch erzeugt (z. B. durch Sprühtrocknung einer wässrigen Suspension oder Lösung der Quellen) und dieses feinteilige Trockengemisch (gegebenenfalls nach Tabletierung unter Zusatz von 0,5 bis 2 Gew.-% an feinteiligem Graphit) bei einer Temperatur von 150 bis 350°C, vorzugsweise 250 bis 350°C unter oxidierender (Sauerstoff enthaltender) Atmosphäre (z. B. unter Luft) thermisch behandelt (wenige Stunden) und abschließend bei Bedarf einer Mahlung unterwirft.

Nach der Beschichtung der Trägerkörper mit der Vorläufermasse wird dann, bevorzugt unter Inertgasatmosphäre (alle anderen Atmospären kommen auch in Betracht) bei Temperaturen von 360 bis 700°C bzw. 400 bis 650°C oder 400 bis 600°C calciniert.

Selbstredend kann die Formgebung erfindungsgemäß verwendbarer Multimetallocidmassen (I) auch durch Extrusion und/oder Tabletierung sowohl von feinteiliger Multimetallocidmasse (I), als auch von feinteiliger Vorläufermasse einer Multimetallocidmasse (I) erfolgen.

Als Geometrien kommen dabei sowohl Kugeln, Vollzylinder und Hohlzylinder (Ringe) in Betracht. Die Längstausdehnung der vorgenannten Geometrien beträgt dabei in der Regel 1 bis 10 mm. Im Fall von Zylindern beträgt deren Länge vorzugsweise 2 bis 10 mm und ihr Außendurchmesser bevorzugt 4 bis 10 mm. Im Fall von Ringen liegt die Wanddicke darüber hinaus üblicherweise bei 1 bis 4 mm. Erfindungsgemäß geeignete ringförmige Vollkatalysatoren können auch eine Länge von 3 bis 6 mm, einen Außendurchmesser von 4 bis

15

aber auch eine Vollkatalysatorringgeometrie von 7 mm x 3 mm x 4 mm oder von 5 mm x 3 mm x 2 mm (Außendurchmesser x Länge x Innendurchmesser).

5 Selbstredend kommen für das erfindungsgemäße Verfahren für die Geometrie der zu verwendenden Multimetallocidaktivmassen (I) auch all jene der DE-A 10101695 in Betracht.

Erfindungsgemäß wesentlich ist, daß die erfindungsgemäß zu verwendenden Multimetallocidmassen (I) ein Röntgendiffraktogramm 10 aufweisen (in dieser Schrift stets bezogen auf Cu-K_α-Strahlung), das Beugungsreflexe h, i und k aufweist, deren Scheitelpunkte bei den Beugungswinkeln (2Θ) $22,2 \pm 0,4^\circ$ (h), $27,3 \pm 0,4^\circ$ (i) und $28,2 \pm 0,4^\circ$ (k) liegen, wobei

15

- der Beugungsreflex h innerhalb des Röntgendiffraktogramms der intensitätsstärkste ist, sowie eine Halbwertsbreite von höchstens $0,5^\circ$ aufweist,
- 20 - die Intensität P_i des Beugungsreflexes i und die Intensität P_k des Beugungsreflexes k die Bezeichnung $0,65 \leq R \leq 0,85$ erfüllen, in der R das durch die Formel

$$R = P_i / (P_i + P_k)$$

25

- definierte Intensitätsverhältnis ist, und
- die Halbwertsbreite des Beugungsreflexes i und des Beugungsreflexes k jeweils $\leq 1^\circ$ beträgt.

30

Gleichzeitig soll das Röntgendiffraktogramm keinen Beugungsreflex mit der Scheitelpunktlage $2\Theta = 50,0 \pm 0,3^\circ$ aufweisen.

Die Definition der Intensität eines Beugungsreflexes im Röntgendiffraktogramm bezieht sich in dieser Schrift auf die in der DE-A 19835247, sowie die in der DE-A 10051419 und DE-A 10046672 niedergelegte Definition.

D.h., bezeichnet A¹ den Scheitelpunkt eines Reflexes 1 und bezeichnet B¹ in der Linie des Röntgendiffraktogramms bei Betrachtung entlang der zur 2Θ -Achse senkrecht stehenden Intensitätsachse das nächstliegende ausgeprägte Minimum (Reflexschultern ausweisende Minima bleiben unberücksichtigt) links vom Scheitelpunkt A¹ und B² in entsprechender Weise das nächstliegende ausgeprägte Minimum rechts vom Scheitelpunkt A¹ und bezeichnet C¹ den Punkt, an dem eine vom Scheitelpunkt A¹ senkrecht zur 2Θ -Achse gezogene Ge-

16

ist die Intensität des Reflexes 1 die Länge des Geradenabschnitts A¹C¹, der sich vom Scheitelpunkt A¹ zum Punkt C¹ erstreckt. Der Ausdruck Minimum bedeutet dabei einen Punkt, an dem der Steigungsgradient einer an die Kurve in einem Basisbereich des Reflexes 1 angelegten Tangente von einem negativen Wert auf einen positiven Wert übergeht, oder einen Punkt, an dem der Steigungsgradient gegen Null geht, wobei für die Festlegung des Steigungsgradienten die Koordinaten der 2Θ Achse und der Intensitätsachse herangezogen werden.

10

Die Halbwertsbreite ist in dieser Schrift in entsprechender Weise die Länge des Geradenabschnitts, der sich zwischen den beiden Schnittpunkten H¹ und H² ergibt, wenn man in der Mitte des Geradenabschnitts A¹C¹ eine Parallele zur 2Θ-Achse zieht, wobei H¹, H² den jeweils ersten Schnittpunkt dieser Parallelen mit der wie vorstehend definierten Linie des Röntgendiffraktogramms links und rechts von A¹ meinen.

Eine beispielhafte Durchführung der Bestimmung von Halbwertsbreite und Intensität zeigt auch die Figur 6 in der DE-A 10046672.

Neben den Beugungsreflexen h, i und k enthält das Röntgendiffraktogramm vorteilhafter erfindungsgemäß zu verwendeter Multimetallocidmassen (I) in der Regel noch weitere Beugungsreflexe, deren Scheitelpunkte bei den nachfolgenden Beugungswinkel (2Θ) liegen:

$$9,0 \pm 0,4^\circ \text{ (l),}$$

30 $6,7 \pm 0,4^\circ \text{ (o) und}$

$$7,9 \pm 0,4^\circ \text{ (p).}$$

Günstig ist es, wenn das Röntgendiffraktogramm der katalytisch aktiven Oxidmassen der allgemeinen Formel (I) zusätzlich einen Beugungsreflex enthält, dessen Scheitelpunkte bei folgendem Beugungswinkel (2Θ) liegt:

$$45,2 \pm 0,4^\circ \text{ (q).}$$

40

Häufig enthält das Röntgendiffraktogramm von Multimetallocidaktivmassen (I) auch noch die Reflexe $29,2 \pm 0,4^\circ \text{ (m)}$ und $35,4 \pm 0,4^\circ \text{ (n)}.$

45

17

Ordnet man dem Beugungsreflex h die Intensität 100 zu, ist es erfindungsgemäß günstig, wenn die Beugungsreflexe i , l , m , n , o , p , q in der gleichen Intensitätsskala die nachfolgenden Intensitäten aufweisen:

5

i : 5 bis 95, häufig 5 bis 80, teilweise 10 bis 60;

l : 1 bis 30;

10

m : 1 bis 40;

n : 1 bis 40;

o : 1 bis 30;

15

p : 1 bis 30 und

q : 5 bis 60.

20 Enthält das Röntgendiffraktogramm von den vorgenannten zusätzlichen Beugungsreflexen, ist die Halbwertsbreite derselben in der Regel $\leq 1^\circ$.

Alle in dieser Schrift auf ein Röntgendiffraktogramm bezogenen Angaben beziehen sich auf ein unter Anwendung von Cu-K α -Strahlung als Röntgenstrahlung erzeugtes Röntgendiffraktogramm (Siemens-Diffraktometer Theta-Theta D-5000, Röhrenspannung: 40 kV, Röhrenstrom: 40 mA, Aperturblende V20 (variabel), Streustrahlblende V20 (variabel), Sekundärmonochromatorblende (0,1 mm), Detektorblende 30 (0,6 mm), Meßintervall (2Θ): $0,02^\circ$, Meßzeit je Schritt: 2,4 s, Detektor: Scintillationszählrohr).

Die spezifische Oberfläche von erfindungsgemäß zu verwendenden Multimetallocidmassen (I) beträgt vielfach 1 bis 30 m²/g (BET-35 Oberfläche, Stickstoff).

Im übrigen kann das erfindungsgemäße Verfahren wie die in der EP-A 608838, der WO 00/29106 sowie der JP-A 10-36311 beschriebenen Verfahrensweisen durchgeführt werden. Als Quelle für den benötigten molekularen Sauerstoff kann z.B. Luft, mit Sauerstoff angereicherte oder an Sauerstoff entreicherte Luft oder reiner Sauerstoff verwendet werden.

Das erfindungsgemäße Verfahren ist insbesondere dann vorteilhaft, wenn das Reaktionsgasausgangsgemisch kein Edelgas, insbesondere kein Helium, als inertes Verdünnungsgas enthält. Im übrigen kann

18

erstoff selbstredend inerte Verdünnungsgase wie z.B. N₂, CO und CO₂ umfassen. Wasserdampf als Reaktionsgasgemischbestandteil ist erfindungsgemäß vorteilhaft.

5. D.h., das Reaktionsgasausgangsgemisch, mit dem die erfindungs-gemäß Multimetalloxidaktivmasse bei Reaktionstemperaturen von z.B. 200 bis 550°C oder von 230 bis 480°C bzw. 300 bis 440°C zu bela-sten ist, kann z.B. nachfolgende Zusammensetzung aufweisen:

10 1 bis 15, vorzugsweise 1 bis 7 Vol.-% Propan,
 44 bis 99 Vol.-% Luft und
 0 bis 55 Vol.-% Wasserdampf.

Bevorzugt sind Wasserdampf enthaltende Reaktionsgasausgangs-15 gemische.

Als andere mögliche Zusammensetzungen des Reaktionsgasausgangs-gemisches kommen in Betracht:

20 70 bis 95 Vol.-% Propan,
 5 bis 30 Vol.-% molekularer Sauerstoff und
 0 bis 25 Vol.-% Wasserdampf.

Selbstredend wird beim erfindungsgemäßen Verfahren ein Produkt-25 gasgemisch erhalten, das nicht ausschließlich aus Acrylsäure be-steht. Vielmehr enthält das Produktgasgemisch neben nicht umge-setztem Propan Nebenkomponenten wie Propen, Acrolein, CO₂, CO, H₂O, Essigsäure, Propionsäure etc., von denen die Acrylsäure abge-trennt werden muß.

30 Dies kann so erfolgen, wie es von der heterogen katalysierten Gasphasenoxidation von Propen zu Acrylsäure bekannt ist.

D.h., aus dem Produktgasgemisch kann die enthaltene Acrylsäure 35 durch Absorption mit Wasser oder durch die Absorption mit einem hochsiedenden inerten hydrophoben organischen Lösungsmittel (z.B. einem Gemisch aus Diphenylether und Diphenyl das gegebenenfalls noch Zusätze wie Dimethylphthalat enthalten kann) aufgenommen werden. Das dabei resultierende Gemisch aus Absorbens und Acryl-säure kann anschließend in an sich bekannter Weise rektifizativ, 40 extraktiv und/oder kristallisativ bis zur Reinacrylsäure aufgear-beitet werden. Alternativ kann die Grundabtrennung der Acrylsäure aus dem Produktgasgemisch auch durch fraktionierte Kondensation erfolgen, wie es z.B. in der DE-A 19 924 532 beschrieben ist. /)

Das dabei resultierende wässrige Acrylsäurekondensat kann dann z.B. durch fraktionierte Kristallisation (z.B. Suspensionskristallisation und/oder Schichtkristallisation) weitergereinigt werden.

5

Das bei der Grundabtrennung der Acrylsäure verbleibende Restgasgemisch enthält insbesondere nicht umgesetztes Propan. Dies kann aus dem Restgasgemisch z.B. durch fraktionierte Druckrektifikation abgetrennt und anschließend in die erfindungsgemäße Gas-

10 phasenoxidation rückgeführt werden. Günstiger ist es jedoch, das Restgas in einer Extraktionsvorrichtung mit einem hydrophoben organischen Lösungsmittel in Kontakt zu bringen (z.B. durch selbiges durchleiten), das das Propan bevorzugt zu absorbieren vermag.

15

Durch nachfolgende Desorption und/oder Stripping mit Luft kann das absorbierte Propan wieder freigesetzt und in das erfindungsgemäße Verfahren rückgeführt werden. Auf diese Weise sind wirtschaftliche Gesamtpropanumsätze erzielbar. Als Nebenkomponente 20 gebildetes Propen wird dabei in der Regel vom Propan nicht abgetrennt und mit diesem im Kreis geführt.

Erfindungsgemäß überrascht, dass bei der Verwendung von erfundungsgemäß zu verwendenden Multimetallocidmassen der Stöchiometrie (I) als Katalysatoren für die gasphasenkatalytische Oxidation von Propan zu Acrylsäure, im Unterschied zur im Stand der Technik vertretenen Auffassung, der i- und nicht der k-Phase und nicht einem gleichzeitigen Vorhandensein von i- und k-Phase die entscheidende Bedeutung zuzukommt. Unerwartet ist auch, daß 30 in der i-Phase vorliegende Multimetallocidmassen (I) bezüglich einer Verwendung als Katalysatoren für die heterogen katalysierte Gasphasenoxidation von Propan zu Acrylsäure eine höhere Aktivität aufweisen als wenn sie in der k-Phase vorliegen. Auch überrascht die erhöhte Selektivität der Acrylsäurebildung.

35

Ferner überrascht, dass die erfundungsgemäß zu verwendenden Multimetallocidmassen (I) bezüglich ihrer Verwendung als Katalysatoren für heterogen katalysierte Gasphasenoxidationen von Propan zu Acrylsäure von befriedigender Stabilität sind.

40

Selbstredend können die erfundungsgemäß zu verwendenden Multimetallocidmassen (I) auch in mit feinteiligen, z.B. kolloidalen, Materialien, wie Siliciumdioxid, Titandioxid, Aluminiumoxid, Zirkonoxid, Nioboxid, verdünnter Form im erfundungsgemäßen Verfahren eingesetzt werden.

20

Das Verdünnungsmassenverhältnis kann dabei bis zu 9 (Verdünner): 1 (Aktivmasse) betragen. D.h., mögliche Verdünnungsmassenverhältnisse betragen z.B. 6 (Verdünner): 1 (Aktivmasse) und 3 (Verdünner): 1 (Aktivmasse). Die Einarbeitung der Verdünner kann 5 vor und/oder nach der Calcination erfolgen. Erfolgt die Einarbeitung vor der Calcination, muß der Verdünner so gewählt werden, dass er bei der Calcination als solcher im wesentlichen erhalten bleibt. Dies ist z. B. im Fall von bei entsprechend hohen Temperaturen gebrannten Oxiden in der Regel gegeben.

10

Die erfindungsgemäß zu verwendenden Multimetallocidmassen eignen sich auch als Katalysatoren zur gasphasenkatalytisch oxidativen Herstellung von Methacrylsäure aus deren C₄-Vorläufern wie z. B. n-Butan oder iso-Butan.

15

Die erfindungsgemäß zu verwendenden Multimetallocidmassen (I) eignen sich auch zur gasphasenkatalytischen Oxidation von Acrolein und von Propen zu Acrylsäure sowie von Methacrolein und anderen C₄-Vorläufern wie z.B. iso-Buten oder iso-Butan zu Methacrylsäure. Selbstredend sind sie auch für die gasphasenkatalytische Ammonoxidation von Propen und/oder Propan zu Acrylnitril geeignet. Beim erfindungsgemäßen Verfahren verbrauchte Katalysatoren können durch beschicken mit sauerstoffhaltigen Gasen, z.B. Luft oder an Sauerstoff entreicherte oder angereicherte 25 Luft, denen auch Wasserdampf zugesetzt sein kann, bei Temperaturen \leq Reaktionstemperatur mehrfach regeneriert werden.

Beispiele

30 A) Herstellung von Katalysatoren

a) Vergleich

1. In 6000 ml Wasser, das eine Temperatur von 80°C aufwies, wurden unter Rühren 706,2 g Ammoniumheptamolybdathydrat mit einem MoO₃-Gehalt von 81,53 Gew.-% (Idealzusammensetzung: (NH₄)₆Mo₇O₂₄·4H₂O, Fa. Starck) gelöst. Unter Aufrechterhaltung der 80°C wurden der resultierenden klaren farblosen Lösung unter weiterem Rühren nacheinander zunächst 141,0 g Ammoniummetavanadat (V₂O₅-Gehalt von 77,4 Gew.-%, Idealzusammensetzung: NH₄VO₃, Fa. G. f. E. Nürnberg) und anschließend 211,28 g Tellursäure (99 Gew.-% H₆TeO₆, Fa. Fluka) zugesetzt. Dabei wurde eine Lösung A erhalten. Die Lösung A ließ man auf 30°C abkühlen. In die auf 30°C abgekühlte, klare und rot gefärbte Lösung A wurde unter weiterem Rühren und unter Aufrechterhaltung der 30°C eine wässrige Nioboxalat Lösung, bestehend aus

21

221,28 g Nioboxalat (Fa. H.C. Starck, DE-Goslar, Nb-Gehalt = 20,1 Gew.-%) und 2000 ml 30°C aufweisendem Wasser, zugegeben.

Die erhaltene Mischung wurde in einem Sprühtrockner (Gerät der Fa. Niro, DE, $T_{ein} = 350^\circ\text{C}$, $T_{aus} = 105^\circ\text{C}$) getrocknet. 150 g des resultierenden Feststoffs wurden in einem Drehkugelofen gemäß Figur 1 (Quarzglaskugel mit 1 Liter Innenvolumen; 1 = Ofengehäuse, 2 = Drehkolben, 3 = beheizter Raum, 4 = Stickstoff-/Luftstrom) unter Luft (10 l/h) mit einer Aufheizgeschwindigkeit von 5°C/min. von 25°C auf 275°C erhitzt. Daran unmittelbar anschließend wurde unter molekularem Stickstoffstrom (10 Nl/h) mit einer Aufheizgeschwindigkeit von 2°C/min. von 275°C auf 650°C erhitzt und bei dieser Temperatur unter dem Stickstoffstrom 6 h gehalten. Anschließend wurde unter Aufrechterhaltung des Stickstoffstromes durch sich selbst überlassen auf 25°C abgekühlt.

Das calcinierte schwarze Material M wies die chemische Zusammensetzung $\text{Mo}_{1,0}\text{V}_{0,33}\text{Te}_{0,14}\text{Nb}_{0,11}\text{O}_x$ auf. Das zugehörige Röntgendiffraktogramm zeigt die Figur 2. Es weist ein Gemisch aus i- und k-Phase aus. Das Verhältnis R beträgt 0,35.

Das calcinierte Material wurde in einer Retsch-Mühle (Zentrifugalmühle, Typ ZM 100, Fa. Retsch, DE) gemahlen (Korngröße $\leq 0,12$ mm).

75 g des resultierenden Pulvers wurden auf 162 g kugelförmige Trägerkörper mit einem Durchmesser von 2,2 - 3,2 mm ($R_z = 45 \mu\text{m}$, Trägermaterial = Steatit der Fa. Ceramtec, DE, Porengesamtvolumen des Trägers ≤ 1 Vol.-% bezogen auf das Trägergesamtvolumen) aufgebracht. Dazu wurde der Träger in einer Dragiertrommel mit 2 l Innenvolumen (Neigungswinkel der Trommelmittellachse gegen die Horizontale = 30°) vorgelegt. Die Trommel wurde mit 25 Umdrehungen je Minute in Rotation versetzt. Über eine mit 300 Nl/h Druckluft betriebene Zerstäuberdüse wurden über 60 min. hinweg ca. 30 ml eines Gemisches aus Glycerin und Wasser (Gewichtsverhältnis Glycerin: Wasser = 1:3) auf den Träger gesprührt. Die Düse war dabei derart installiert, daß der Sprühkegel die in der Trommel durch Mitnahmbleche an den obersten Punkt der geneigten Trommel beförderten Trägerkörper in der oberen Hälfte der Abrollstrecke benetzte. Das feinteilige Aktivmassenpulver wurde über eine Pulverschnecke in die Trommel eingetragen, wobei der Punkt der Pulverzugabe innerhalb der Abrollstrecke oder unterhalb des Sprühkegels lag. Durch die periodische Wiederholung von Benetzung und Pulveraufdosierung wurde der grund-

beschichtete Trägerkörper in der darauffolgenden Periode selbst zum Trägerkörper.

Nach Abschluß der Beschichtung wurde der beschichtete Trägerkörper während 16 Stunden bei 120°C im Umlufttrockenschrank (Firma Binder, DE, Innenvolumen 53 l) getrocknet. Glycerin wurde durch eine sich daran anschließende zweistündige Wärmebehandlung bei 150°C unter Luft entfernt. Es wurde ein Vergleichs-Schalenkatalysator Sa erhalten.

10

b) Vergleich

128,0 g Ammoniummetavanadat (V_2O_5 -Gehalt von 77,4 Gew.-%, Idealzusammensetzung: NH_4VO_3 , Fa. G. f. E. Nürnberg) wurden bei 80°C in 2925 ml Wasser in einem Edelstahlbehälter gelöst. Es entstand eine gelblich klare Lösung, die auf 60°C abgekühlt wurde. Zu dieser Lösung wurden dann nacheinander unter Aufrechterhaltung der 60°C 304,5 g Tellursäure (99 Gew.-% H_6TeO_6 , Fa. Fluka) und 585,0 g Ammoniumheptamolybdat (81,53 Gew.-% MoO_3 , Fa. Starck, Idealzusammensetzung: $(NH_4)_6Mo_7O_{24} \cdot 4H_2O$) unter Rühren zugegeben. Es entstand eine tiefrote Lösung A, die auf 30°C abgekühlt wurde. In einem zweiten Edelstahlbehälter wurden davon getrennt 69,6 g Niobsäure (Nb-Gehalt 48,6 Gew.-%, Fa. Starck) zusammen mit 343,5 g Oxalsäuredihydrat bei 60°C in 750 ml Wasser gelöst. Es wurde eine Lösung B erhalten, die auf 30°C abgekühlt wurde. Die Lösungen A und B wurden bei 30°C vereinigt, wobei die Lösung B in die Lösung A eingerührt wurde. Die Zugabe erfolgte über einen Zeitraum von 3 Minuten. Es entstand eine orangerote Suspension. Diese Suspension wurde anschließend sprühgetrocknet (Sprühturm der Fa. Nipolosa; die Temperatur des Vorlagebehälters wurde auf 30°C gehalten, $T_{ein} = 330^\circ C$, $T_{aus} = 110^\circ C$; Trocknungsduer: 2 h). Das resultierende Sprühgut war ein homogenes Pulver von olivgrüner Farbe.

35 100 g des Sprühpulvers wurden in einem Drehkugelofen gemäß Figur 1 calciniert. Dazu wurde zunächst innerhalb von 27,5 min von 25°C unter einem Luftstrom von 50 Nl/h auf 275°C linear aufgeheizt und diese Temperatur während 1 h unter Aufrechterhaltung des Luftstromes gehalten. Anschließend wurde der Luftstrom durch einen Stickstoffstrom von 50 Nl/h ersetzt und innerhalb von 32,5 min. linear von 275°C auf 600°C aufgeheizt. Diese Temperatur und der Stickstoffstrom wurden 2 h gehalten. Anschließend wurde unter Aufrechterhaltung des Stickstoffstroms durch sich selbst überlassen auf 25°C abgekühlt. Das calzinierte Material wurde anschließend in einer

40

45

23

gemahlen (Korngröße $\leq 0,12$ mm). Es resultierte ein schwarzes Pulver der chemischen Zusammensetzung $Mo_{1,0}V_{0,33}Te_{0,41}Nb_{0,11}O_x$. Das zugehörige Röntgendiffraktogramm zeigt die Figur 3 (R = 0). Es weist im wesentlichen reine k-Phase aus. Mit 75 g des Pulvers wurde wie in a) ein Vergleichs-Schalenkatalysator Sb hergestellt.

5 c) Erfindungsgemäß

10 Zunächst wurden 230 g des schwarzen calcinierten Materials M aus a) hergestellt. Diese wurden bei 70°C in 2300 g einer 10 gew.-%igen wäßrigen Salpetersäure (HNO_3) gegeben und die erhaltene Suspension während 7 h unter Aufrechterhaltung der 70°C gerührt. Dann wurde auf 25°C abgekühlt. Der in der 15 schwarzen Suspension befindliche Feststoff wurde durch Filtration von der wäßrigen Phase getrennt, mit Wasser frei von Nitrat gewaschen und anschließend in einem Umlufttrockenschrank bei 120°C über Nacht getrocknet. Von den eingesetzten 230 g verblieben nach der vorstehend beschriebenen Behandlung 20 181,4 g (= 78,7 Gew.-%). Die chemische Analyse des erhaltenen Feststoffs ergab die Zusammensetzung $Mo_{1}V_{0,26}Te_{0,09}Nb_{0,14}O_x$. Das zugehörige Röntgendiffraktogramm zeigt die Figur 4. Es weist ausschließlich i-Phase aus. Das Verhältnis R beträgt 0,74.

25 Anschließend wurde das getrocknete Material wie in a) in einer Retsch-Mühle gemahlen (Korngröße $\leq 0,12$ mm) und wie in a) zu einem erfindungsgemäß zu verwendenden Schalenkatalysator Sc verarbeitet.

30 d) Erfindungsgemäß

35 Es wurde wie unter c) beschrieben ein Schalenkatalysator Sd hergestellt. Anstelle von 10 gew.-%iger wäßriger Salpetersäure wurde jedoch eine 20 gew.-%ige wäßrige Salpetersäure verwendet. Das zugehörige Röntgendiffraktogramm zeigt die Figur 5. Es weist ausschließlich i-Phase aus. Das Verhältnis R beträgt 0,74.

40 e) Erfindungsgemäß

45 Es wurde wie unter c) beschrieben ein Schalenkatalysator Se hergestellt. Anstelle von 10 gew.-%iger wäßriger Salpetersäure wurde jedoch eine 30 gew.-%ige wäßrige Salpetersäure verwendet. Das zugehörige Röntgendiffraktogramm zeigt die Figur 6. Es weist ausschließlich i-Phase aus. Das Verhältnis R beträgt 0,73.

B) Testung der Katalysatoren

Mit den Schalenkatalysatoren aus A) wurde jeweils ein Reaktionsrohr (Länge: 140 cm) aus V2A Stahl (Außendurchmesser = 60 mm, Innendurchmesser = 8,5 mm) beschickt. Die Beschickungslänge wurde zu 52 cm gewählt. Eine Vorschüttung von 30 cm Länge aus Steatitkugeln (Durchmesser: 2,2 - 3,2 mm, Firma Ceramtec) diente der Anwärmung des Reaktionsgasausgangsgemisches. Mit denselben Steatitkugeln wurde das Reaktionsrohr nach der Katalysatorzone abschließend aufgefüllt. Das Reaktionsrohr wurde von außen auf seiner ganzen Länge mittels elektrischer Heizmatten beheizt. Die Mattentemperatur wurde zu 340°C gewählt. Die Reaktion wurde bei einem Druck von 2 bar absolut, einer Verweilzeit (bezogen auf die Katalysator-Schüttung) von 2,4 s mit einem Feed (Reaktionsgasausgangsgemisch) der molaren Zusammensetzung Propan:Luft:Wasser = 1:15:14 durchgeführt. In Abhängigkeit vom verwendeten Schalenkatalysator wurden die in der Tabelle aufgelisteten Ergebnisse erzielt. U [mol-%] = Propanumsatz bei einfachem Reaktionsrohrdurchgang. S [mol-%] = Selektivität der Acrylsäurebildung bei einfachem Reaktionsrohrdurchgang.

Tabelle

Schalenkatalysator	U [mol-%]	S [mol-%]
Sa	12	40
Sb	5	12
Sc	18	69
Sd	28	72
Se	24	67

Patentansprüche

1. Verfahren zur Herstellung von Acrylsäure durch heterogen katalysierte Gasphasenoxidation von Propan mit molekularem Sauerstoff bei erhöhter Temperatur an wenigstens einer Multimetallocxidmasse der allgemeinen Stöchiometrie I,



10

mit

- M¹ = Te und/oder Sb,
 M² = wenigstens eines der Elemente aus der Gruppe umfassend Nb, Ta, W, Ti, Al, Zr, Cr, Mn, Ga, Fe, Ru, Co, Rh, Ni, Pd, Pt, La, Bi, B, Ce, Sn, Zn, Si und In,
 b = 0,01 bis 1,
 c = > 0 bis 1,
 d = > 0 bis 1 und
 n = eine Zahl, die durch die Wertigkeit und Häufigkeit der von Sauerstoff verschiedenen Elemente in (I) bestimmt wird,

25 deren Röntgendiffraktogramm Beugungsreflexe h, i und k aufweist, deren Scheitelpunkte bei den Beugungswinkeln (2θ) 22,2 ± 0,4° (h), 27,3 ± 0,4° (i) und 28,2 ± 0,4° (k) liegen, wobei

- 30 - der Beugungsreflex h innerhalb des Röntgendiffraktogramms der intensitätsstärkste ist, sowie eine Halbwertsbreite von höchstens 0,5° aufweist,
 35 - die Intensität P_i des Beugungsreflexes i und die Intensität P_k des Beugungsreflexes k die Beziehung 0,65 ≤ R ≤ 0,85 erfüllen, in der R das durch die Formel

$$R = P_i / (P_i + P_k)$$

40 definierte Intensitätsverhältnis ist, und

- die Halbwertsbreite des Beugungsreflexes i und des Beugungsreflexes k jeweils ≤ 1° beträgt,

26

dadurch gekennzeichnet, daß die wenigstens eine Multimetall-oxidmasse (I) eine solche ist, deren Röntgendiffraktrogramm keinen Beugungsreflex mit der Scheitelpunktlage $2\Theta = 50,0 \pm 0,3^\circ$ aufweist.

5

2. Verfahren nach Anspruch 1, dadurch gekennzeichnet, daß $M^1 = Te$.
3. Verfahren nach Anspruch 1 oder 2, dadurch gekennzeichnet, daß $M^2 = Nb$.
4. Verfahren nach einem der Ansprüche 1 bis 3, dadurch gekennzeichnet, daß $b = 0,1$ bis $0,6$.
- 15 5. Verfahren nach einem der Ansprüche 1 bis 4, dadurch gekennzeichnet, daß $c = 0,01$ bis 1 .
6. Verfahren nach einem der Ansprüche 1 bis 5, dadurch gekennzeichnet, daß $d = 0,01$ bis 1 .
- 20 7. Verfahren nach einem der Ansprüche 1 bis 6, dadurch gekennzeichnet, daß $0,67 \leq R \leq 0,75$.
8. Verfahren nach einem der Ansprüche 1 bis 6, dadurch gekennzeichnet, daß $R = 0,70$ bis $0,75$.
- 25 9. Verfahren nach einem der Ansprüche 1 bis 8, dadurch gekennzeichnet, daß es im Wirbelbett durchgeführt wird.
- 30 10. Verwendung einer Multimetallocidmasse der allgemeinen Formel I,



mit

35

- $M^1 = Te$ und/oder Sb ,
- $M^2 =$ wenigstens eines der Elemente aus der Gruppe umfassend Nb , Ta , W , Ti , Al , Zr , Cr , Mn , Ga , Fe , Ru , Co , Rh , Ni , Pd , Pt , La , Bi , B , Ce , Sn , Zn , Si und In .
- 40 $b = 0,01$ bis 1 ,
- $c = > 0$ bis 1 ,
- $d = > 0$ bis 1 und
- $n =$ eine Zahl, die durch die Wertigkeit und Häufigkeit der von Sauerstoff verschiedenen Elemente in (I) bestimmt wird,

27

deren Röntgendiffraktogramm Beugungsreflexe h, i und k aufweist, deren Scheitelpunkte bei den Beugungswinkeln (2Θ) $22,2 \pm 0,4^\circ$ (h), $27,3 \pm 0,4^\circ$ (i) und $28,2 \pm 0,4^\circ$ (k) liegen, wobei

5

- der Beugungsreflex h innerhalb des Röntgendiffraktogramms der intensitätsstärkste ist, sowie eine Halbwertsbreite von höchstens $0,5^\circ$ aufweist,
- 10 - die Intensität P_i des Beugungsreflexes i und die Intensität des Beugungsreflexes k die Beziehung $0,65 \leq R \leq 0,85$ erfüllen, in der R das durch die Formel

$$R = P_i / (P_i + P_k)$$

15

definierte Intensitätsverhältnis ist,

20

- die Halbwertsbreite des Beugungsreflexes i und des Beugungsreflexes k jeweils $\leq 1^\circ$ beträgt, und
- das Röntgendiffraktogramm keinen Beugungsreflex mit der Scheitelpunktlage $2\Theta = 50,0 \pm 0,3^\circ$ aufweist,

25

als Katalysator für die gasphasenkatalytisch oxidative Herstellung von Acrylsäure aus Propan.

30

35

40

45

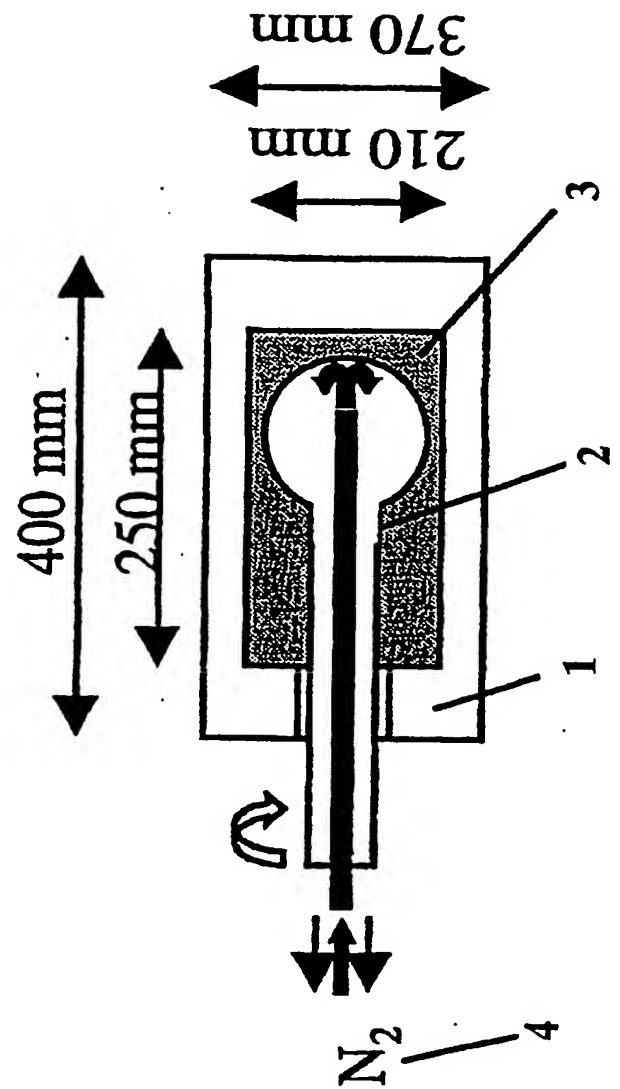


Fig. 1

Fig. 2

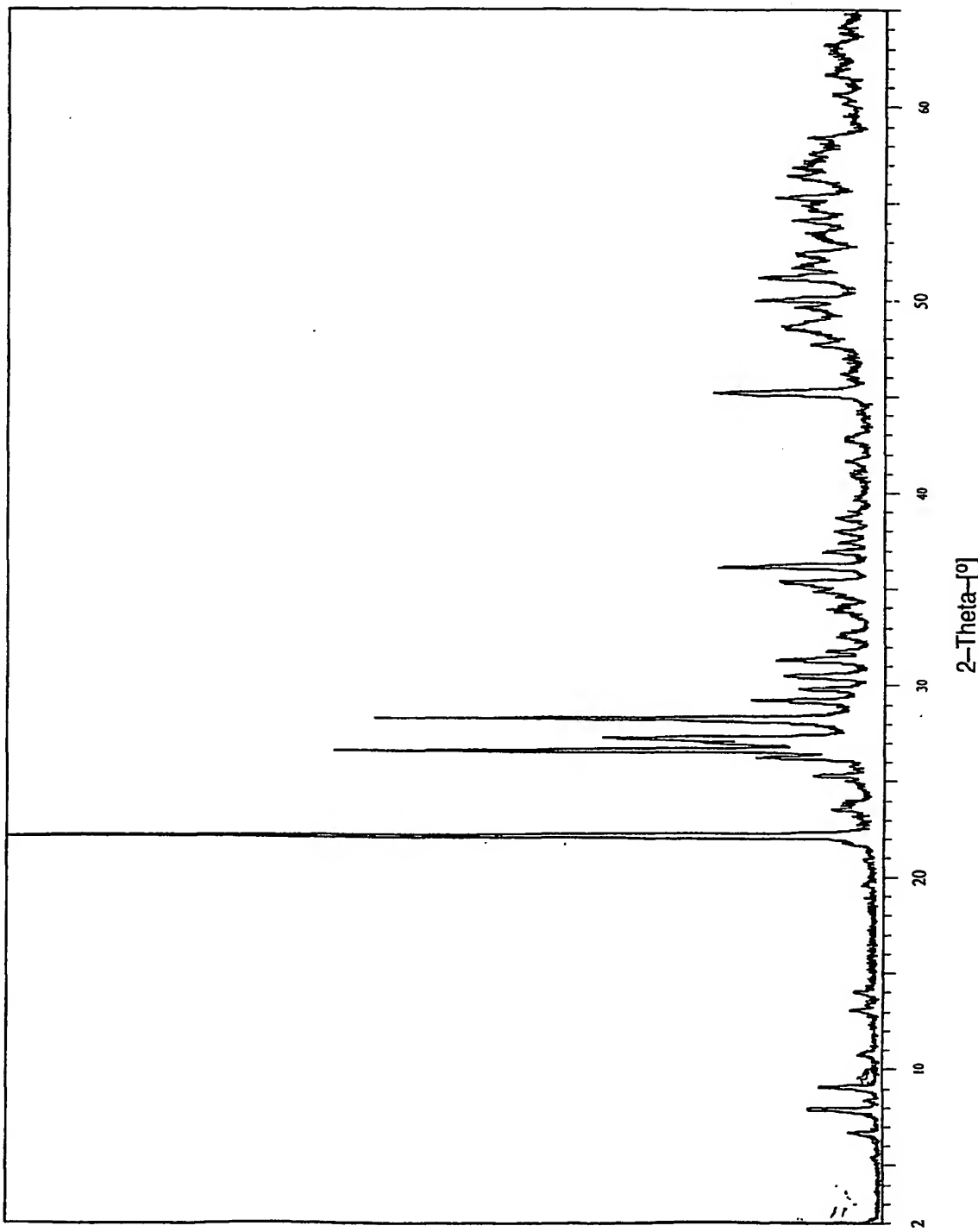


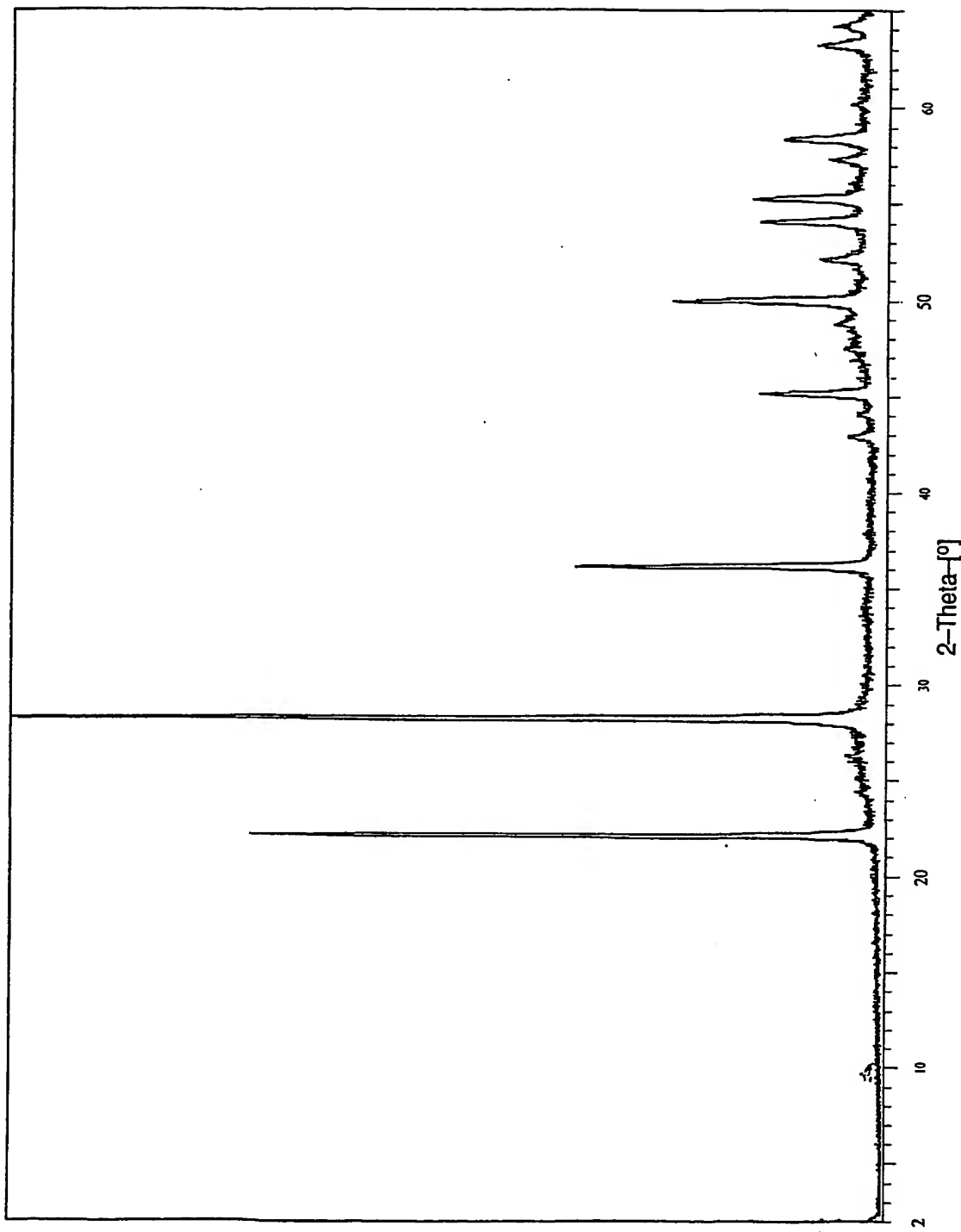
Fig. 3

Fig. 4

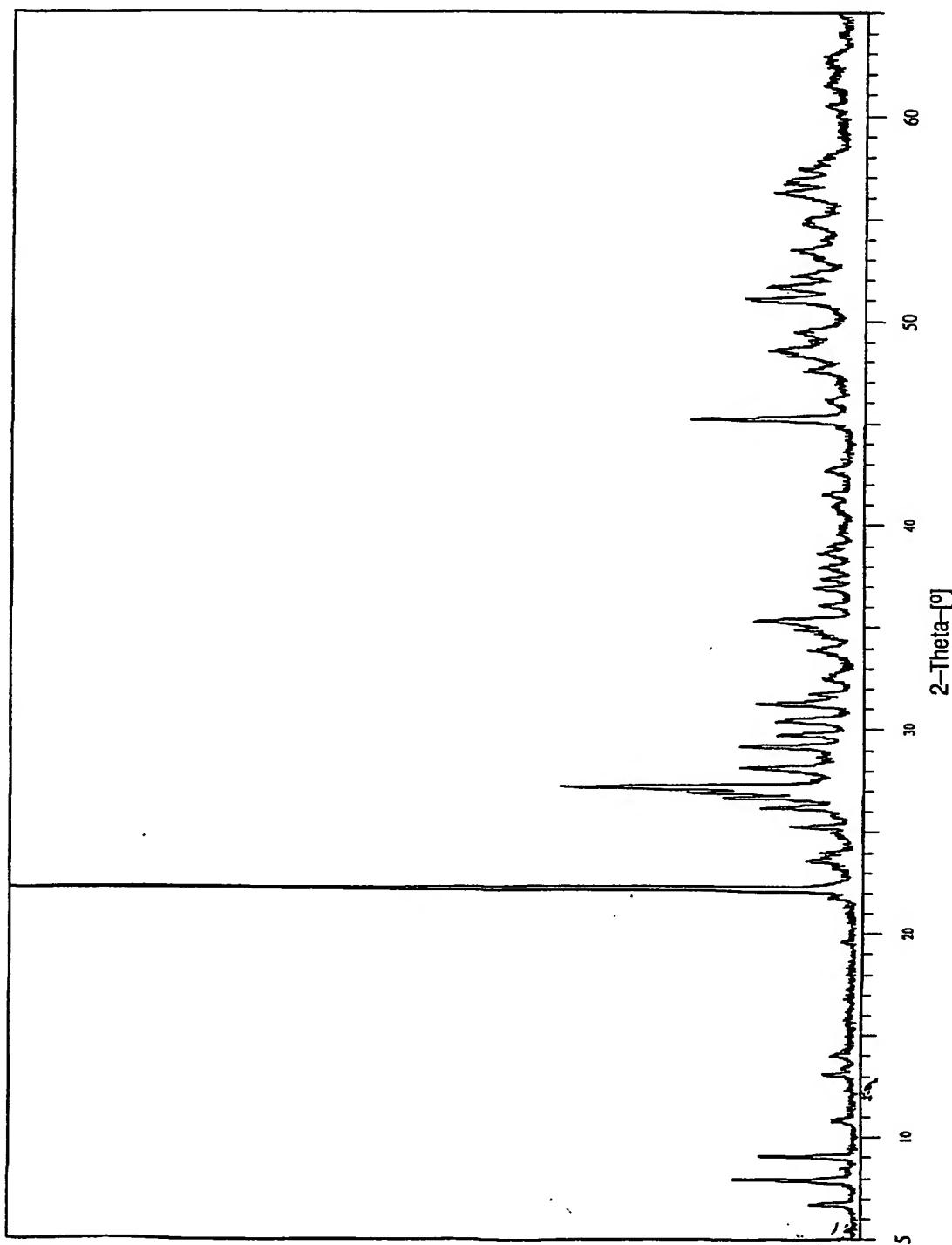


Fig. 5

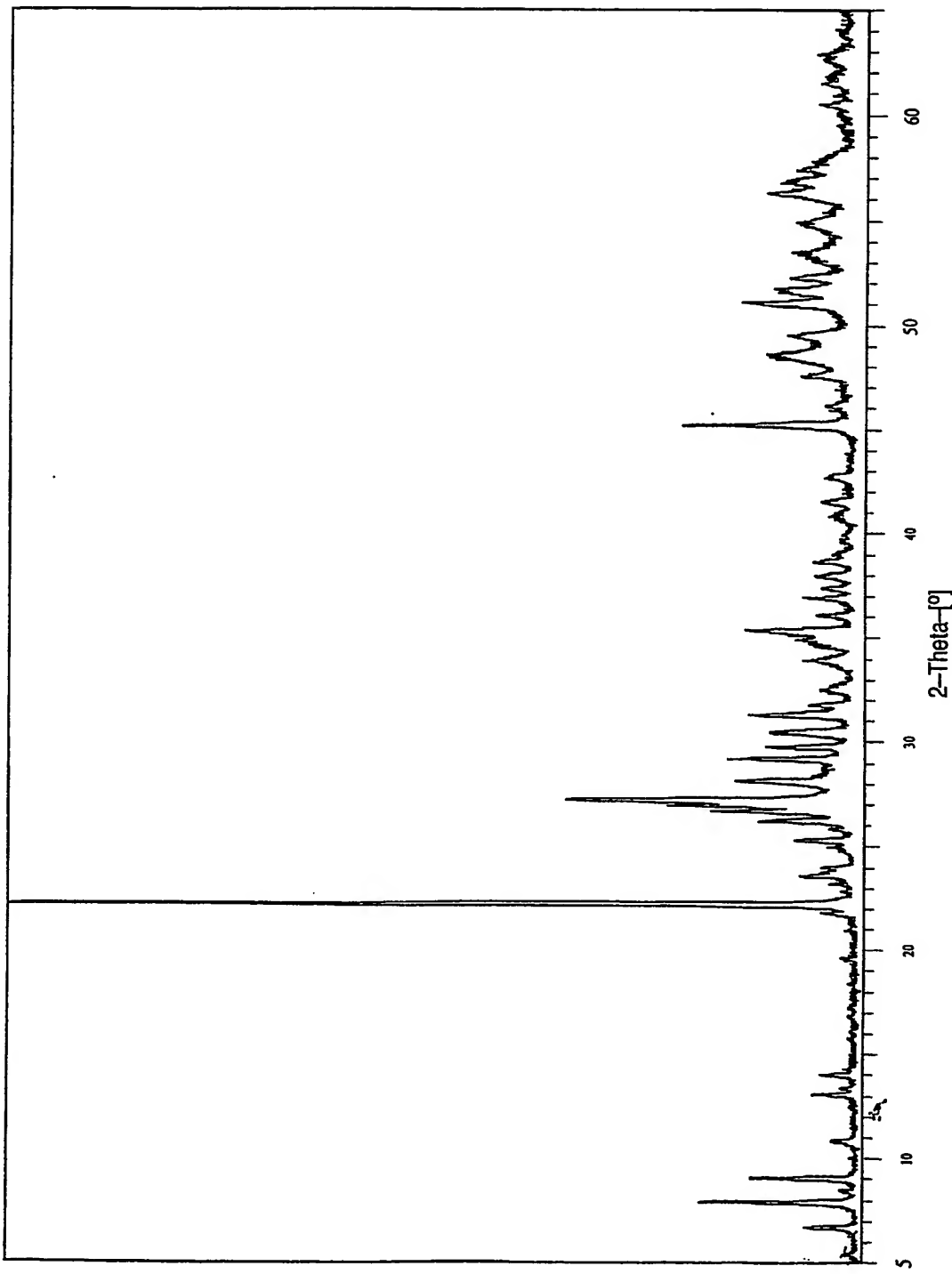


Fig. 6

